すばる望遠鏡広帯域分光装置 NINJAの検出器システム最適化

田中健翔(修士2年 東京大学大学院理学系研究科天文学専攻)本原顕太郎(東京大学天文学教育研究センター, 国立天文台)柳澤顕史(国立天文台)鎌田有紀子(国立天文台)東谷千比呂(国立天文台)

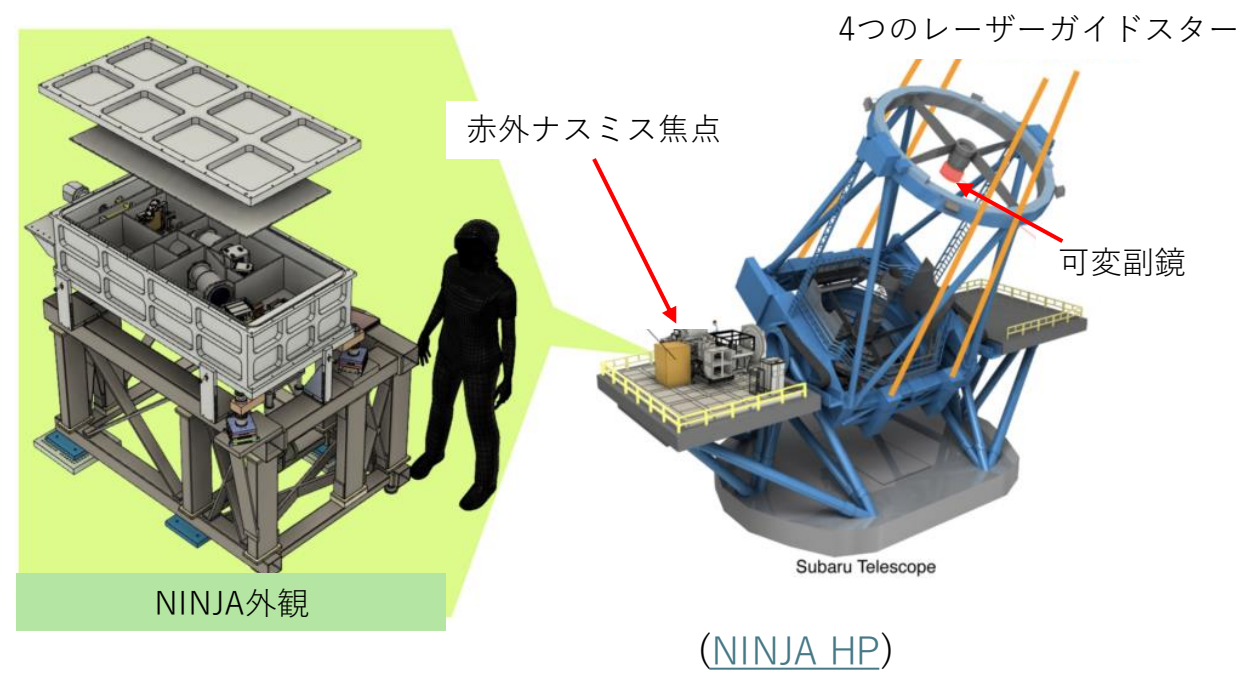
2025/4/17 第44回天文学に関する技術シンポジウム

広带域分光装置NINJA

NINJA (Near-Infrared and optical Joint spectrograph with Adaptive optics)



- レーザートモグラフィ補償光学 (LTAO) に最適化された分光観測装置
- 可視分光装置(0.35-0.9µm)と、近赤外 分光装置(0.9-2.5µm)から構成
- サイエンスターゲット
 - キロノヴァ(メインターゲット)
 - クエーサー
 - 遠方銀河



➤ 狭領域を**高感度&広波長域 (0.35-2.5µm)**で一度に分光観測

NINJA近赤外線分光装置 諸元

- 近赤外線分光装置が先行開発中
 - 回折格子+クロスディスパーサを組み合わせた エシェル分光器
 - LTAOで実現できるシャープな像に合わせて、 スリット幅は細く設定 (0.35", R \sim 3300)

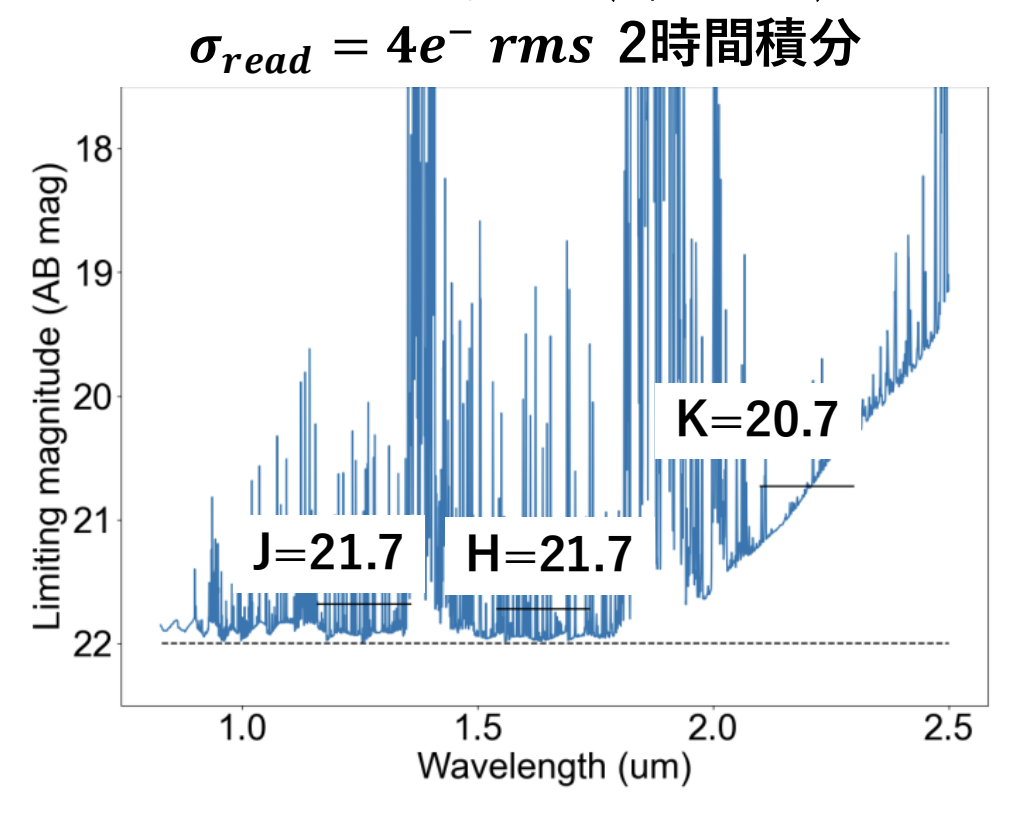
近赤外線分光装置の光学レイアウト 検出器上のエシェ ルフォーマット スリットビューア プリズム ダイクロイック クライオスタット 輻射シールド スリット交換機構 2.290 um ± 2.049 µm 近赤外線 720 mm 0.905 um 0.865 μm 0.865 um 0.828 µm 1480 mm

近赤外線分光装置 諸元

| 波長範囲 | 0.83-2.5μm | |
|-----------------|--|--|
| F比 | 13.9 | |
| スリット幅、波 長分解能 | 0.35" R~3300 0.21" R~5500 0.5" R~2310 0.7" R~1650 | |
| スリット長 | 5" | |
| 検出器 | HAWAII-2RG x 1 (2048 x 2048pix) | |
| 画素サイズ | 18 μm/pix | |
| サンプリング | 3.3 pix | |

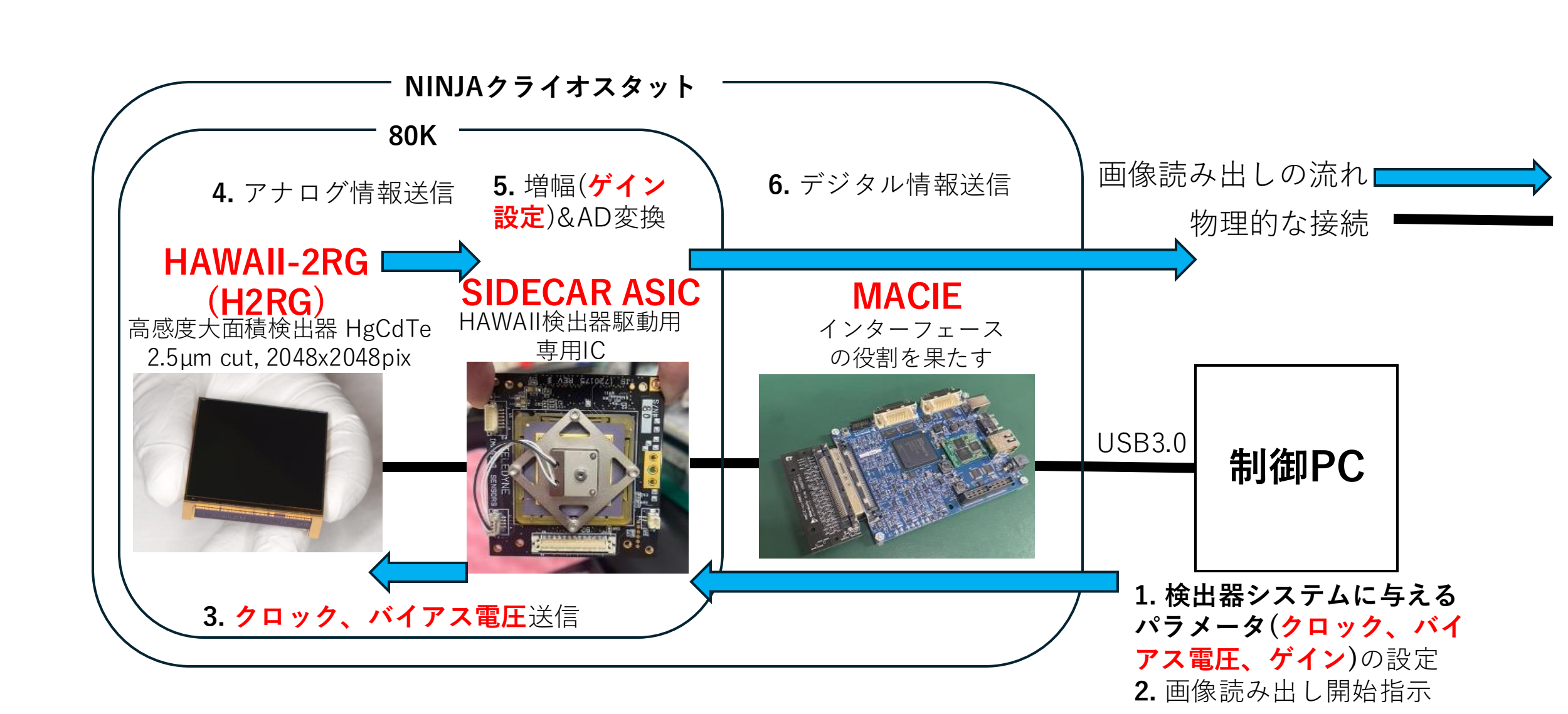
NINJA検出器システム開発への要求

NINJA 限界等級(S/N=10)



- \rightarrow NINJAの目標感度(Jバンド22mag, S/N=10, 2hr)を達成するには、読み出しノイズ $\sigma_{rend} = 4e^- rms$ が要求される。
- →検出器システムに与える最適なパラメータを見出す必要性

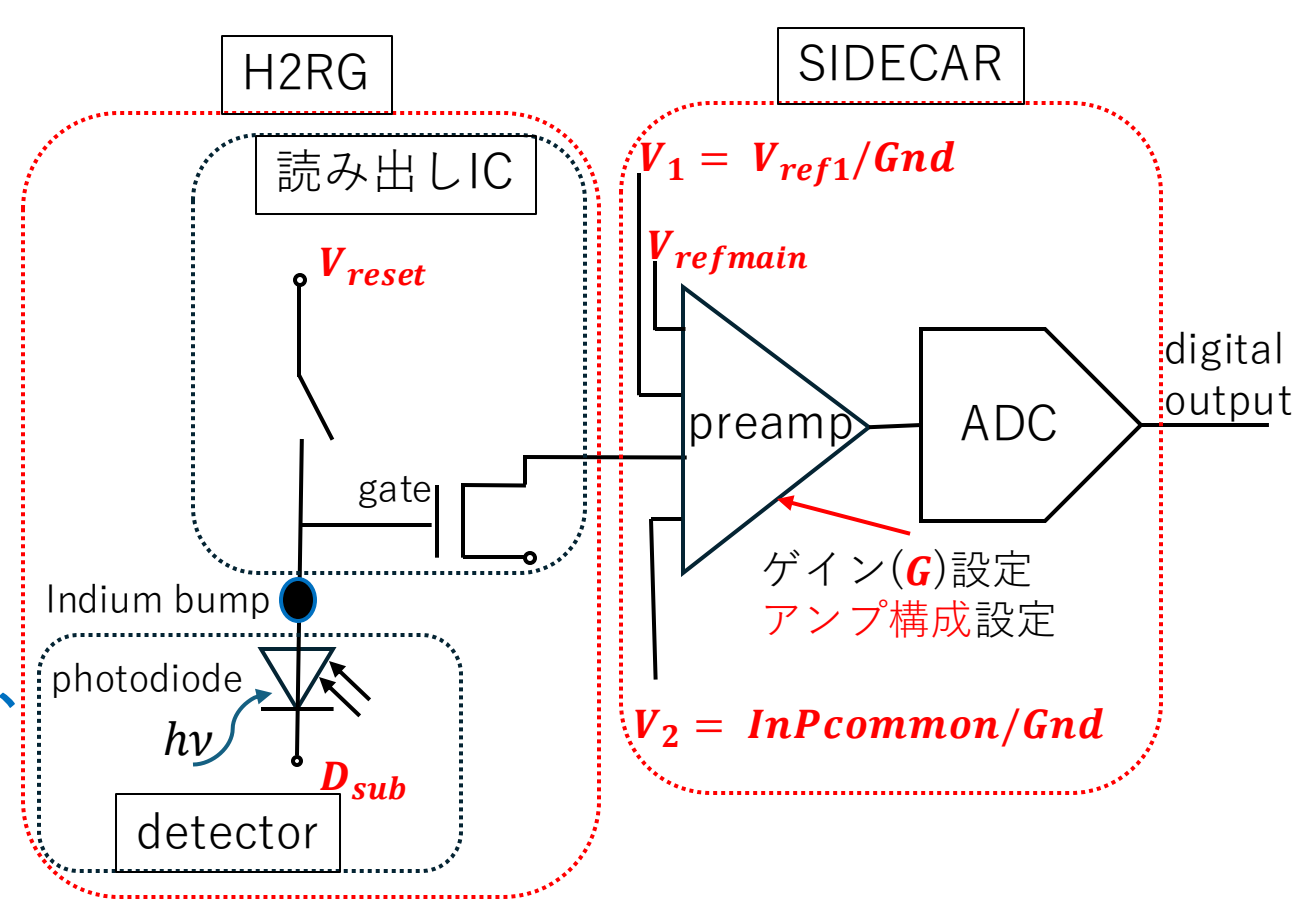
NINJA検出器システム 概念図



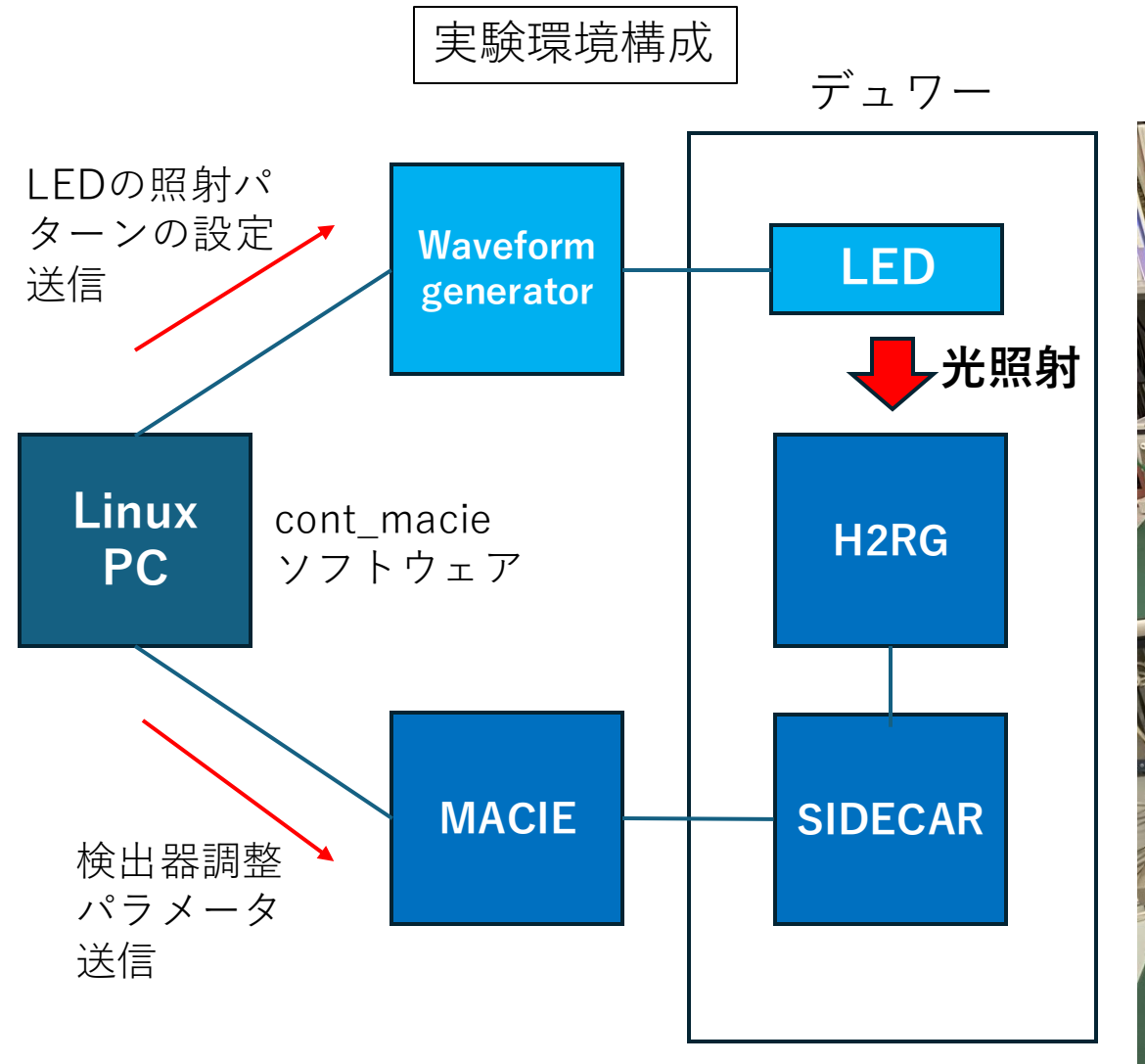
読み出し最適化を実現する調整パラメータ

H2RG検出器1pixelと、SIDECARの回路の概略図

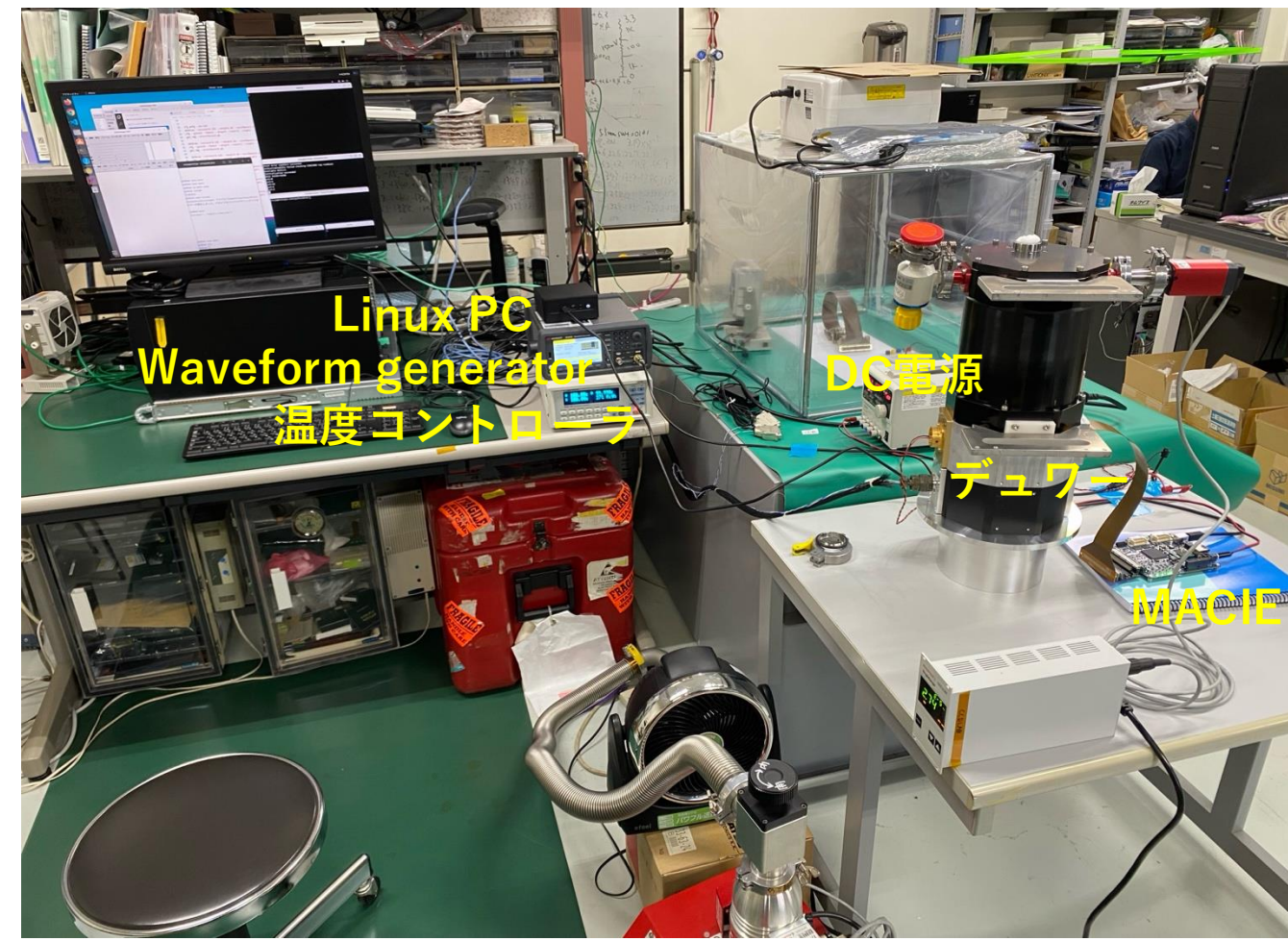
- ・ 検出器システムに与える調整パラメータ
 - photodiodeバイアス電圧(V_{reset}, D_{sub})
 - アンプ構成 (InPcommonモード /Vrefmainモード)
 - アンプに入力する参照電圧を三つ 用いるか、一つ用いるかを決定
 - アンプ参照電圧 $(V_{refmain}, V_{ref1})$
 - ゲイン(G)
- → H2RG(Eng.grade, 1.7µm cut)を用いて、 Indium bump 五つの調整パラメータがダイナミックレンジ、 photodiode ハイズ性能にどのように影響を与えるのかを *hv* detect



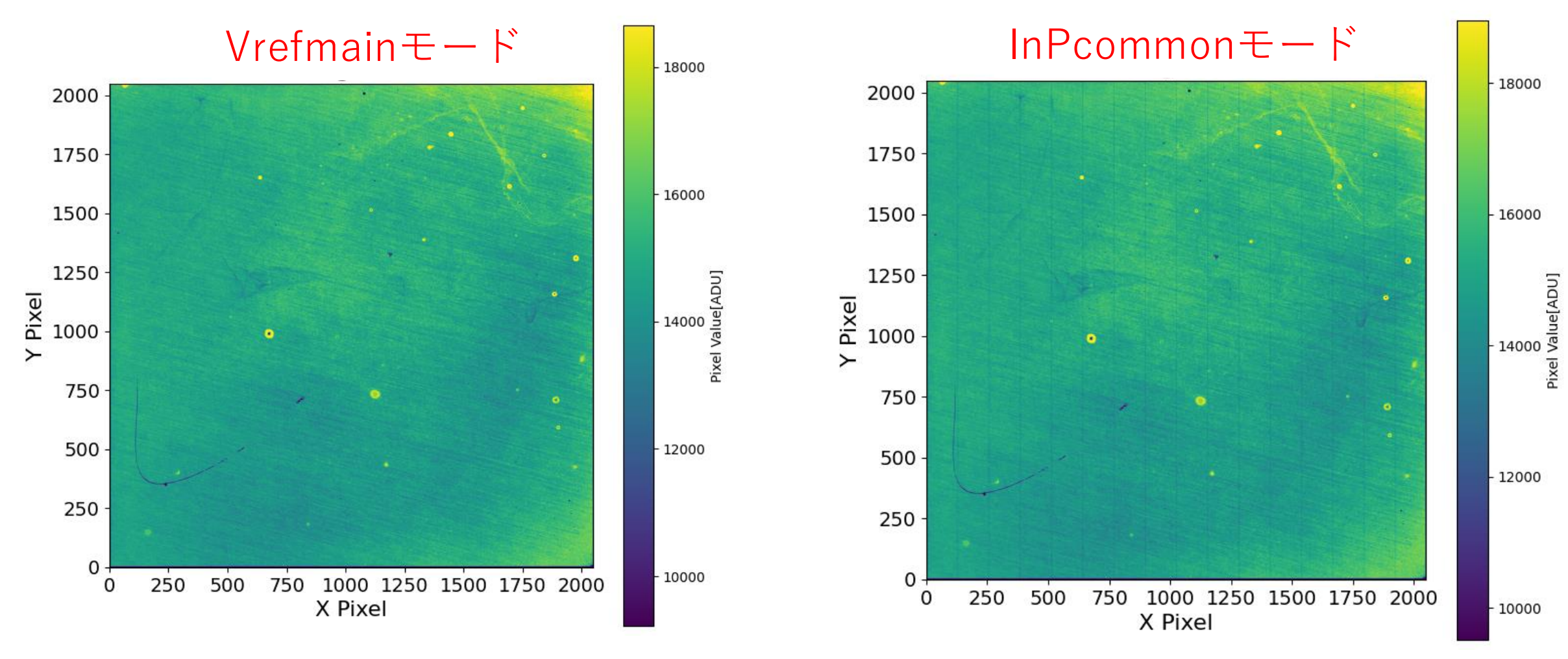
実験環境



実験環境写真(国立天文台)



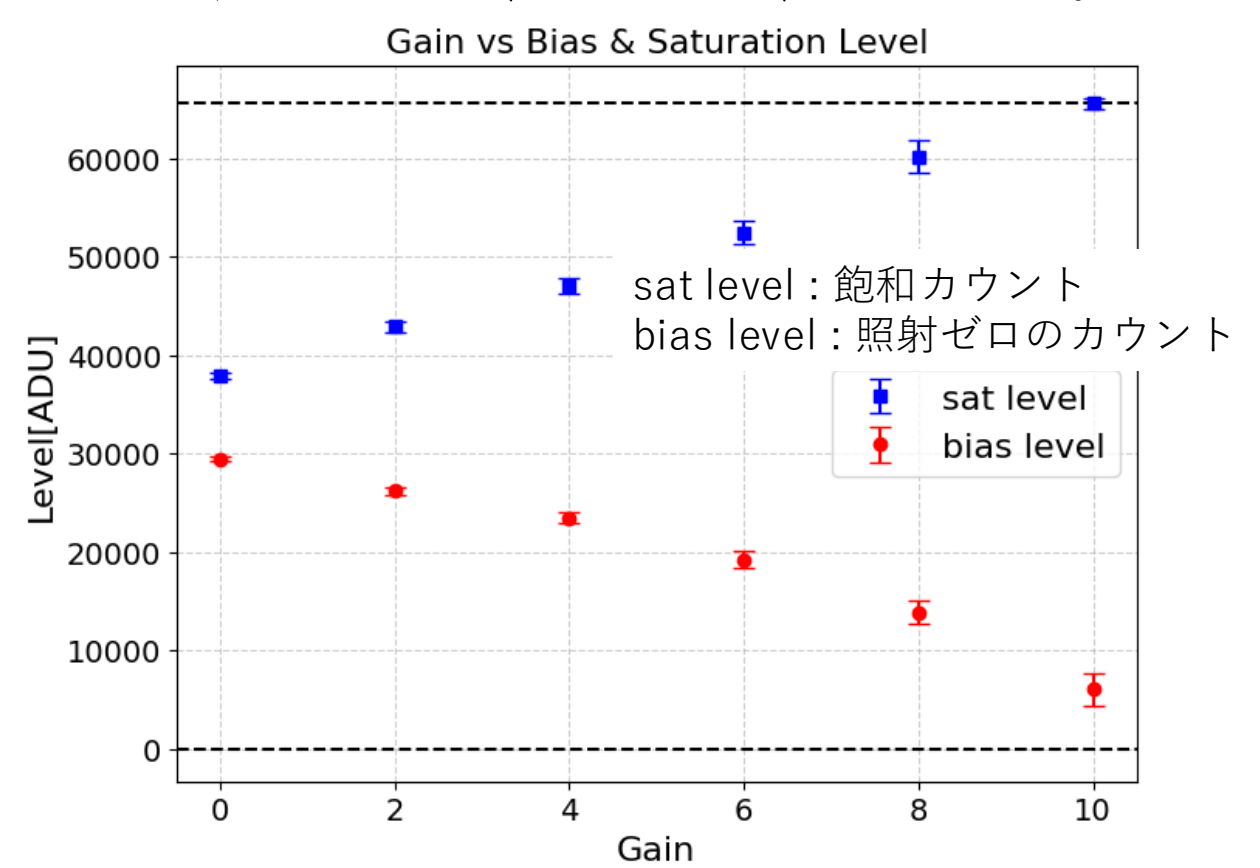
アンプ構成による出力画像の違い



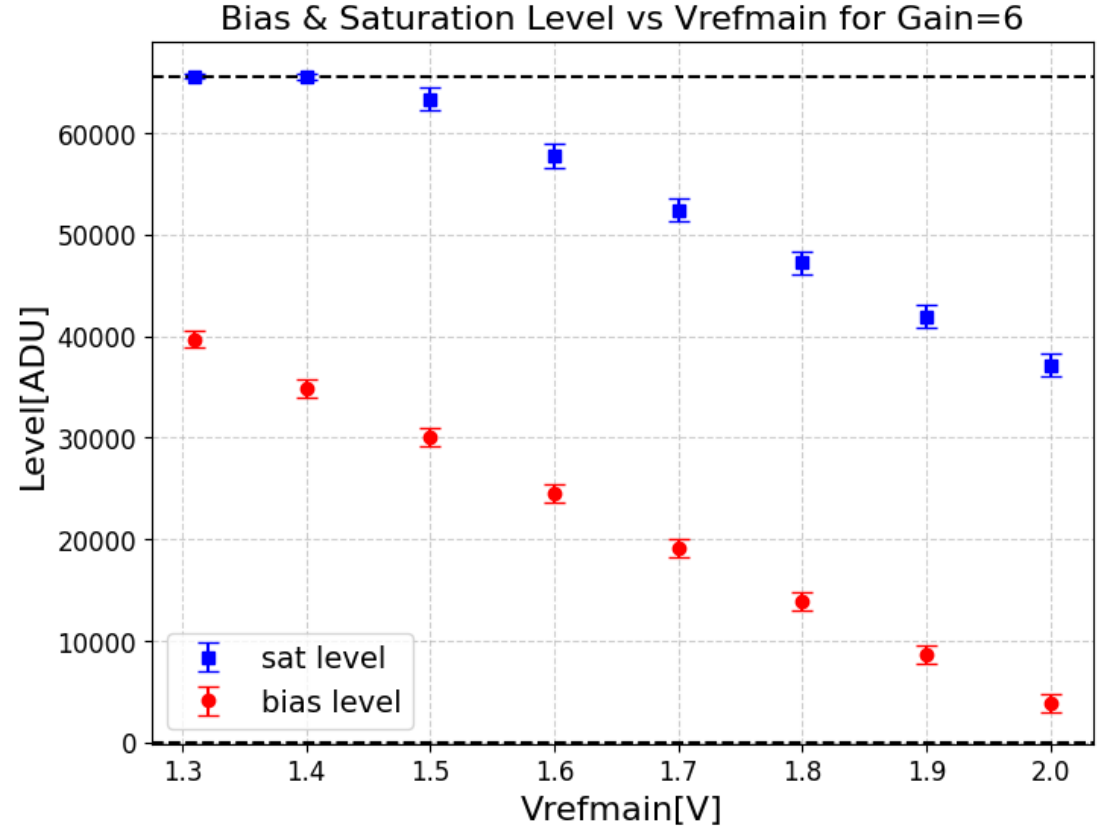
→ Vrefmainモードだと、読み出しチャンネル間の縦縞が消える

$G, V_{refmain}$ のダイナミックレンジへの寄与

• f(G)を増加させると、biasレベルが減少し、satレベル(飽和レベル)が増加する。



• **preampの参照電圧** ($V_{refmain}$)の増加に伴い、bias/satレベルが負の方向にシフト



 \rightarrow 0-65535ADUにリミットされない範囲で、 $G,V_{refmain}$ を調整する必要がある。

$G, V_{refmain}$ の読み出しノイズへの寄与

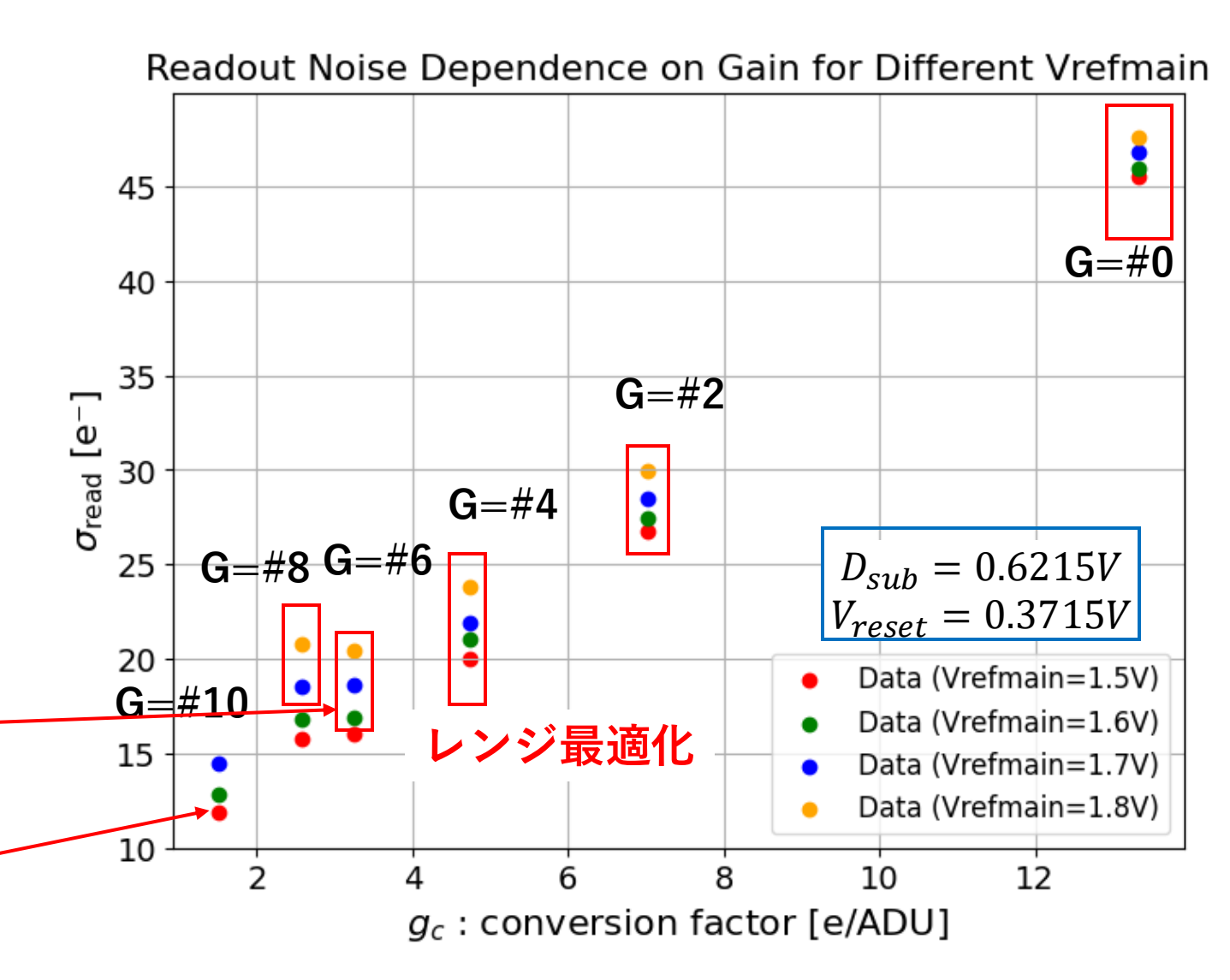
- ゲイン設定 G が大きい(conversion factor $g_c[e^-/ADU]$ が小さい)ほど、ノイズ抑制
- $V_{refmain}$ が小さいほどノイズ抑制

$$V_{refmain} = 1.6V, G = \#6$$

 $\sigma_{read} = 16.9e^-$

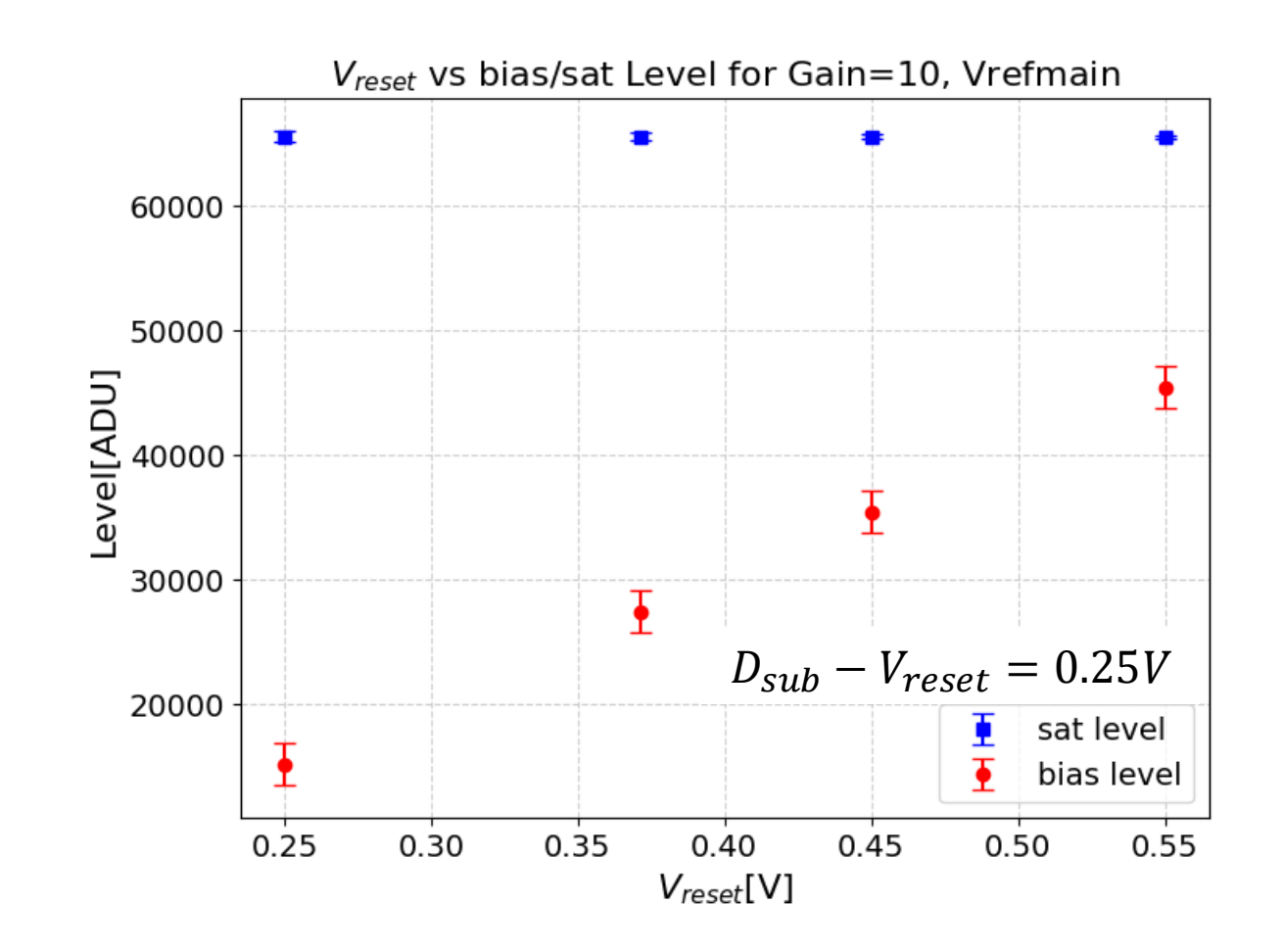
$$V_{refmain} = 1.5V, G = #10$$

 $\sigma_{read} = 11.9e^{-}$

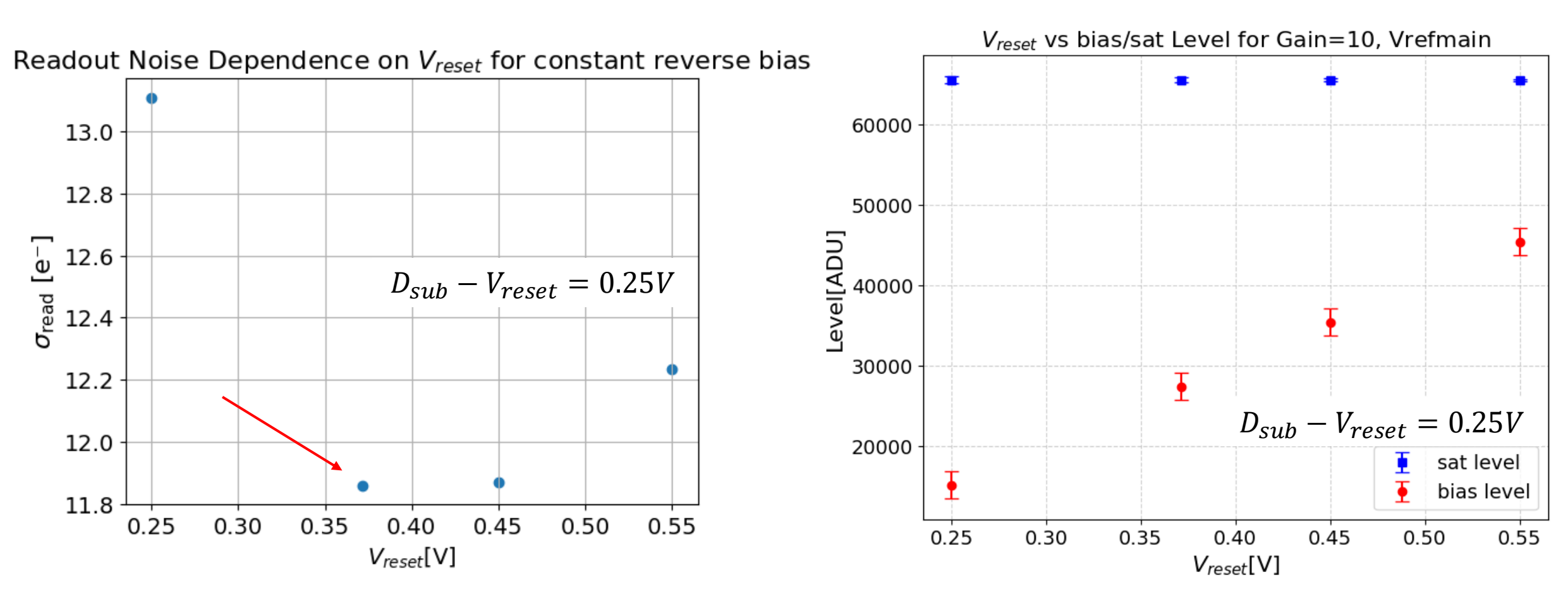


D_{sub} , V_{reset} のダイナミックレンジへの寄与

- フォトダイオードへの逆バイアス $(D_{sub} V_{reset})$ を一定にして、 D_{sub} , V_{reset} をシフトさせると、ダイナミックレンジがシフトする。
- G = #10の下では、飽和レベルが、65535ADUでリミットされる。
- \rightarrow この設定値において、 D_{sub} , V_{reset} の調整によるダイナミックレンジ最適化は不可能

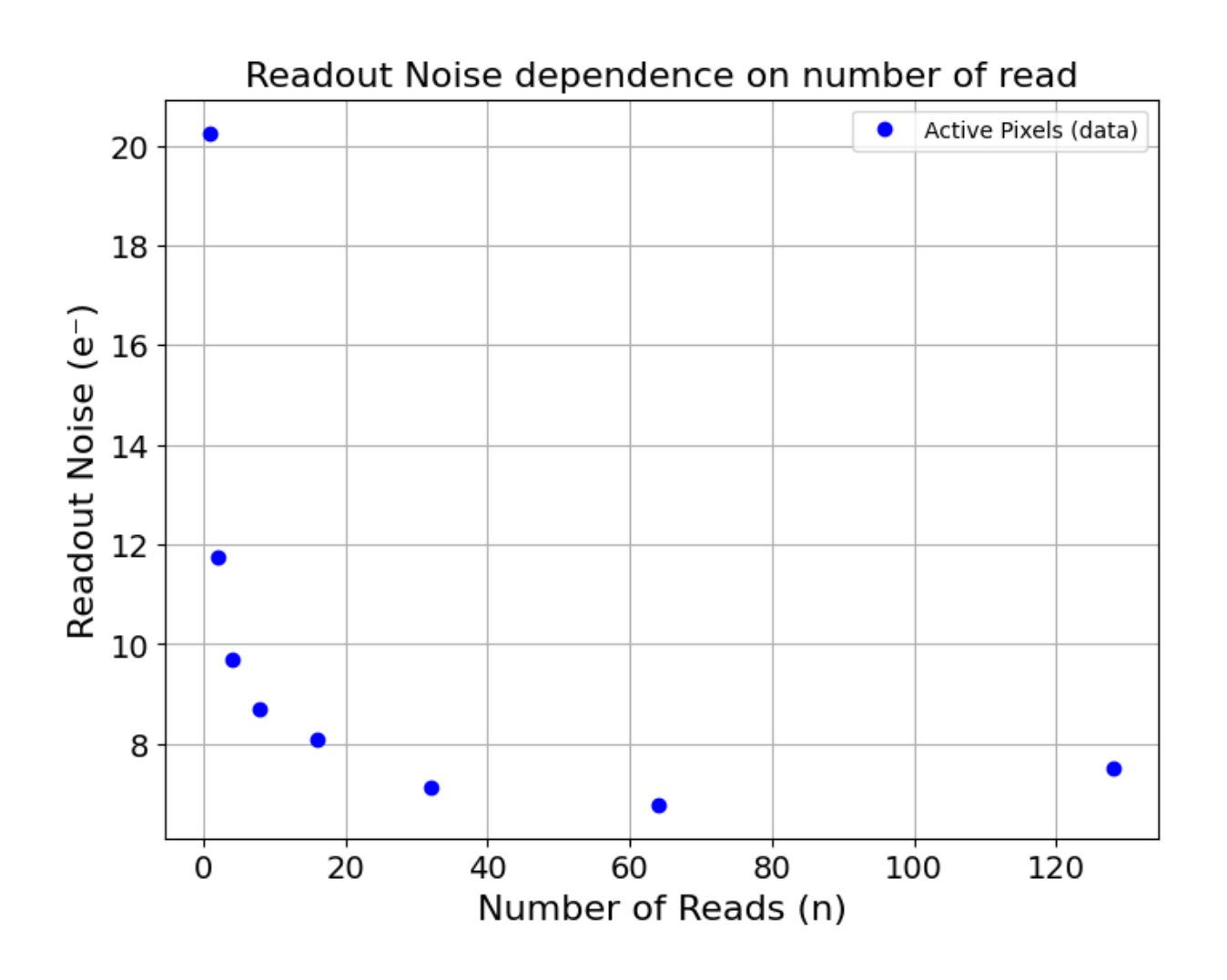


D_{sub} , V_{reset} の読み出しノイズへの寄与



• $D_{sub} - V_{reset} = 0.25V$ の下では、読み出しノイズは $V_{reset} = 0.3715V$ で最小 \rightarrow バイアスレベルが、65535ADUの半分付近に相当する設定

マルチサンプリングによる読み出しノイズの低減



- Fowler samplingの読み出し 回数(n)を増やすことで、実 効的な読み出しノイズの低減 を確認できた。
- ここでは、 $\sigma_{read} = 6.8e^-$ が達成できた。
- → 今後、NINJAで用いる検出器 (Sci.grade)でどこまで読み出 しイズの低減を達成できるか、 確かめる。

検出器システムに与える調整パラメータ案

| | 設定案1 | 設定案2 |
|-------------------------------|-------------------------------|------------------------------|
| アンプ構成 | Vrefmainモード | Vrefmainモード |
| G | #6 | #10 |
| $V_{refmain}$ | 1.6V | 1.5V |
| D_{sub} | 0.6215V | 0.6215V |
| V_{reset} | 0.3715V | 0.3715V |
| ダイナミックレンジ最適化 (サンプリング可能電子数) | ○ (~100000e ⁻) | △ (~50000e ⁻) |
| $\sigma_{read} \ (n=1)$ | 16.9e ⁻ | 11.9e ⁻ |

→ 天体の明るさによって、設定案を使い分ける想定

まとめ

- H2RG (Eng. grade, 1.7 μ m cut)を用いて、調整パラメータ ($G,V_{refmain},V_{reset},D_{sub}$,アンプ構成)が出力画像、ダイナミックレンジとノイズに与える影響を、実験により確かめた。
- → NINJA検出器システムのパラメータ調整に必要な手順を確立した。
- 確立した手法を用いて、NINJAで用いるH2RG (Sci. grade, 2.5µm cut)
 でのパラメータ調整に取り掛かる。